

# Espectro de energías, densidad de niveles, polarización del espín, propiedades de transporte y ópticas en puntos cuánticos y trampas de átomos

Augusto González

*Instituto de Cibernética, Matemática y Física Calle E 309, Vedado, Habana 4, Cuba\**

Se resume un conjunto de resultados de perfil teórico [1-10], relativos a espectros de energías, densidad de estados excitados, polarización del espín, transporte a través de barreras de potencial, y propiedades ópticas (absorción en el infra-rojo, luminiscencia) de sistemas tales como puntos cuánticos semiconductores y trampas de átomos. La característica fundamental de los sistemas investigados consiste en que contienen un número de partículas entre 4 y 400, lo cual hace muy difícil el cálculo de sus propiedades. En los trabajos presentados se resalta y se hace amplio uso de la analogía entre estos sistemas y los núcleos atómicos por lo que se adaptaron métodos de la Física Nuclear tales como: Hartree-Fock y la RPA para sistemas finitos, el método BCS y la proyección de Lipkin-Nogami y la ecuación de Bethe-Goldstone. Además, se resolvió la ecuación de Schrodinger utilizando bases de funciones de hasta 40,000 elementos utilizando el algoritmo de Lanczos y se implementaron otros métodos como el de Monte Carlo variacional y los aproximantes dobles de Padé. Por último, se propuso un método estocástico para proyectar la función de onda BCS.

A set of theoretical results [1-10] is reviewed, which concern calculations of energy spectra, density of energy levels, spin polarization, transport and optical properties (infrared absorption, luminescence) of semiconductor quantum dots and atomic traps. The studied systems contain a number of particles between 4 and 400, thus the calculation of their physical properties is a hard task. The analogy between these systems and the atomic nuclei is stressed and used throughout the paper. Common Nuclear Physics methods like Hartree-Fock and RPA schemes for finite systems, the BCS approach and the Lipkin-Nogami projection, and the Bethe-Goldstone equation were adapted to the present context. On the other hand, the Schrodinger equation was solved in basis with up to 40,000 functions by means of the Lanczos algorithm, and other methods like variational Monte Carlo estimations and two-point Padé approximants were also applied. Lastly, a stochastic projection of the BCS wave function was implemented.

## I. ENERGIA DE BOSONES EN UNA TRAMPA

En el trabajo [1] se calculó la energía del estado base de sistemas de hasta 210 bosones (átomos con espín entero) confinados en una trampa. El cálculo se hizo por dos vías: analíticamente utilizando los denominados aproximantes dobles de Padé [11] y a partir del denominado método variacional de Monte Carlo [12].

La novedad del trabajo consistió en la extensión del tratamiento analítico empleado en [11] para calcular el espectro de energías del excitón (un sistemas de dos partículas: un electrón y un hueco) a sistemas de cientos de partículas. Para ello se hizo necesario calcular series para la energía en el límite de interacción débil (por teoría de perturbaciones hasta segundo orden) y en el límite de interacción fuerte (oscilaciones de una denominada molécula de Wigner). Estas series son luego conectadas por medio de aproximantes dobles de Padé.

Por otro lado, el método variacional de Monte Carlo combina el principio variacional de Ritz con la técnica de Monte Carlo para evaluar integrales multidimensionales. Siendo  $\Psi_T$  una función de prueba arbitraria, el principio variacional nos dice que la energía del estado base satisface la desigualdad

$$E_{gs} \leq \langle \Psi_T | H | \Psi_T \rangle$$

$$\leq \int d^2r_1 \dots d^2r_N |\Psi_T|^2 E_T(\vec{r}_1, \dots, \vec{r}_N), \quad (1)$$

donde  $H$  es el hamiltoniano del problema y  $E_T = \Psi_T^{-1} H \Psi_T$ . La integral, de dimension  $2N$ , es evaluada por Monte Carlo. Para ello generamos puntos  $\vec{R} = (\vec{r}_1, \dots, \vec{r}_N)$  con probabilidad dada por  $|\Psi_T|^2$ . Tenemos:

$$E_{gs} \leq \frac{1}{N_{puntos}} \sum_K E_T(\vec{R}_K). \quad (2)$$

El lado derecho de (2) es el estimado para  $E_{gs}$ .

El valor de  $N_{puntos}$  utilizado en nuestros cálculos fue  $10^5$ . La función de prueba  $\Psi_T$  contenía correlaciones entre pares de partículas (factores de Jastrow) y sus tres parámetros variacionales eran utilizados para minimizar la energía. La generación de puntos en el espacio multidimensional se hizo a partir del algoritmo de Metropolis [12]. Este es un algoritmo secuencial en el que el punto  $\vec{R}_{K+1}$  se genera a partir de  $\vec{R}_K$  de acuerdo con lo siguiente:

(i) Se crea  $\vec{R}' = \vec{R}_K + \delta\vec{R}$ , donde  $\delta\vec{R}$  es una perturbación aleatoria. (ii) Se genera un número aleatorio  $r$  distribuido uniformemente en  $[0,1]$ . (iii) Si  $|\Psi_T(\vec{R}')|^2 / |\Psi_T(\vec{R}_K)|^2 > r$ , entonces  $\vec{R}_{K+1} = \vec{R}'$ , en caso contrario  $\vec{R}_{K+1} = \vec{R}_K$ .

Un ejemplo de los resultados de [1] se muestra en la Fig. 1.

Figure 3

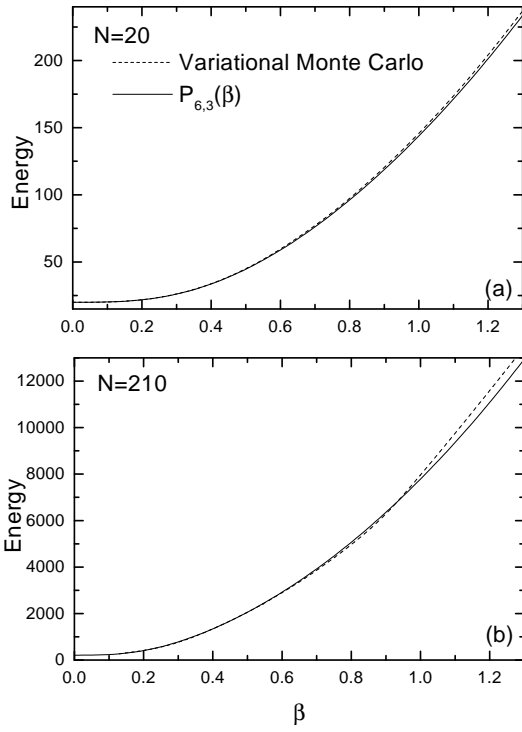


Figura 1: Comparación entre los resultados de Monte Carlo y los aproximantes dobles de Padé para 20 y 210 bosones.

El perfil de densidad, el potencial químico y otras magnitudes en sistemas de  $10^4 - 10^6$  átomos confinados en trampas y enfriados por laser hasta temperaturas muy por debajo de 1K han sido medidas experimentalmente en fecha reciente [13].

## II. ENERGIA DE SISTEMAS MULTIEXCITONICOS A PARTIR DE LA FUNCION BCS

En el trabajo [2] se resaltó e hizo uso de la analogía entre los núcleos atómicos y los sistemas de excitones en semiconductores. Un método de cálculo de la estructura nuclear muy empleado para núcleos pesados y que se basa en una función BCS [14] fue utilizado para calcular la energía de sistemas de hasta 210 pares de electrones y huecos, es decir hasta 420 partículas, con el objetivo de investigar cuándo, o sea para qué densidades, el sistema se comporta como un gas de electrones y huecos y para qué densidades se comporta como un sistema de excitones descrito por la función BCS.

La función de onda variacional BCS,

$$|BCS\rangle = \prod_{j=1}^{N_{max}} (u_j + v_j h_j^\dagger e_j^\dagger) |0\rangle, \quad (3)$$

aparea huecos y electrones en estados con momento angular total igual a cero. El estado  $\bar{j}$  del electrón tiene momento invertido respecto del hueco.  $|u_j|^2$  es la probabilidad de que no exista el par  $(j, \bar{j})$ , mientras que  $|v_j|^2$  es la probabilidad de que exista. El principio de Ritz

$$E_{gs} \leq \langle BCS | H | BCS \rangle, \quad (4)$$

nos da un estimado para  $E_{gs}$ . Los coeficientes  $u_j$  y  $v_j$  se utilizan como parámetros variacionales sujetos a la ligadura  $|u_j|^2 + |v_j|^2 = 1$ . La minimización conduce a la denominada ecuación del gap

$$\Delta_j = \sum_{k \neq j} \langle j, k | V | k, j \rangle \frac{\Delta_k}{2\sqrt{\Delta_k^2 + (\epsilon_k^{HF} - \mu)^2}}, \quad (5)$$

donde  $V$  es el potencial de interacción entre pares,  $\epsilon_k^{HF}$  es la energía del estado  $k$  renormalizada por la interacción con el resto de los estados y  $\mu$  es el potencial químico que se determina de la ecuación

$$N = \langle BCS | \sum_j e_j^\dagger e_j | BCS \rangle. \quad (6)$$

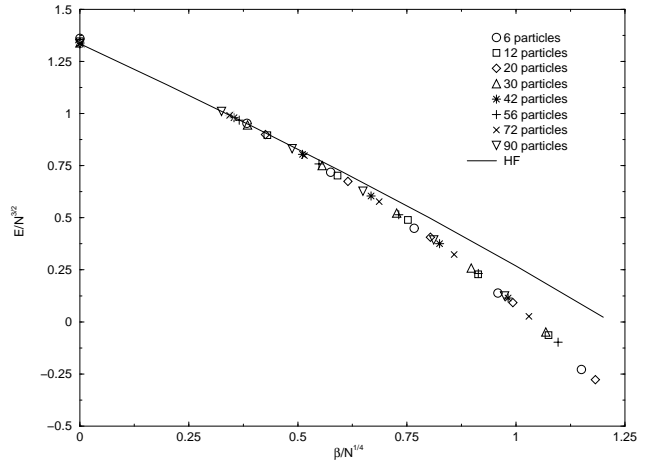


Figura 2: Energías de sistemas multiexcitónicos estimadas a partir del método BCS.

Los coeficientes  $v_j$  se han parametrizado en términos de los  $\Delta_j$  así:

$$v_j = \frac{1}{2} \left( 1 - \frac{\epsilon_j^{HF} - \mu}{\sqrt{\Delta_j^2 + (\epsilon_j^{HF} - \mu)^2}} \right). \quad (7)$$

Las ecuaciones (5) se resuelven iterativamente y muestran muy buenas propiedades de convergencia.

Debido a que la función BCS no conserva el número de partículas se hace necesario un procedimiento de proyección. En el trabajo se empleó una proyección aproximada propuesta por Lipkin y Nogami [15]. Al resultar evidente que esta proyección era insuficiente se creó un método estocástico basado en el algoritmo de Metropolis que ofreció muy buenos resultados. En la Fig. 2 mostramos un ejemplo de estos resultados.

### III. METODO ESTOCASTICO PARA PROYECTAR LA FUNCION DE ONDA BCS

El método de proyección estocástica mencionado en la sección anterior no sólo nos permitió hallar mejores valores para la energía en el caso de sistemas de excitones, sino que de vuelta a la Física Nuclear se calculó la energía de apareamiento en diversos modelos de estructura nuclear y en el isótopo de Zr con masa atómica 100. Los resultados nuestros son comparables en exactitud con los mejores cálculos cuánticos por Monte Carlo de esta magnitud.

Por su valor metodológico, este trabajo fue publicado independientemente [3].

La proyección de la función BCS sobre el sector de  $N$  pares se escribe

$$|\Psi_{BCS}^N\rangle = C_N \sum_{j_1, \dots, j_N} \left( \prod_{k=j_1}^{j_N} \frac{v_k}{u_k} a_k^\dagger a_k^\dagger \right) |0\rangle, \quad (8)$$

donde

$$C_N = \sum_{j_1, \dots, j_N} \left( \frac{v_{j_1}^2 \dots v_{j_N}^2}{u_{j_1}^2 \dots u_{j_N}^2} \right)^{-1/2}. \quad (9)$$

El estimado para la energía se obtiene de

$$\begin{aligned} E_{BCS}^N &= \langle \Psi_{BCS}^N | H | \Psi_{BCS}^N \rangle \\ &= \sum_{j_1, \dots, j_N} W(j_1, \dots, j_N) \epsilon(j_1, \dots, j_N), \end{aligned} \quad (10)$$

donde  $\epsilon(j_1, \dots, j_N)$  tiene interpretación de energía cuando los  $N$  estados  $j_1, \dots, j_N$  están ocupados y los coeficientes

$$W(j_1, \dots, j_N) = C_N \frac{v_{j_1}^2 \dots v_{j_N}^2}{u_{j_1}^2 \dots u_{j_N}^2}, \quad (11)$$

que son explícitamente mayores que cero, pueden interpretarse como factores de peso. La expresión (10) permite una evaluación por Monte Carlo, donde el conjunto

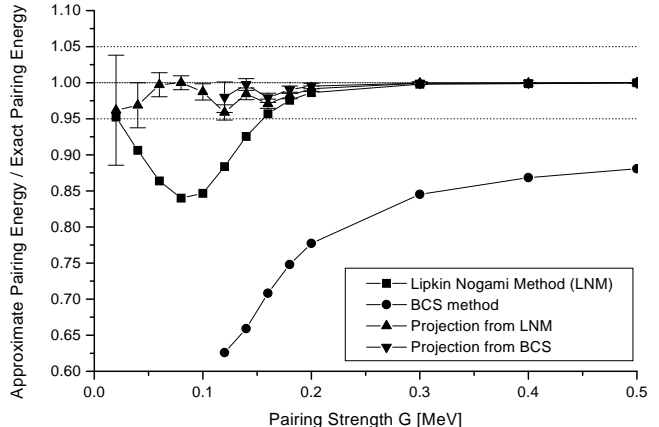


Figura 3: Energía de apareamiento entre nucleones en un modelo de dos niveles degenerados.

de estados  $(j_1, \dots, j_N)$  se generan según Metropolis con peso  $W(j_1, \dots, j_N)$ .

En la Fig. 3 se muestran algunos resultados en un modelo de estructura nuclear.

### IV. APLICACION DE LA ECUACION DE BETHE-GOLDSTONE A SISTEMAS DE EXCITONES

La ecuación de Bethe-Goldstone es la base de la denominada aproximación de pares independientes en núcleos [14]. Significa una mejora apreciable sobre los métodos de Hartree-Fock o de partículas independientes en el sentido que se consideran las correlaciones de pares en la función de onda del núcleo. Ha sido utilizada extensivamente en Física Nuclear para el cálculo de la energía de cohesión de la materia nuclear y de la energía (masa) de núcleos intermedios.

En el trabajo [4], la ecuación de Bethe-Goldstone fue reformulada para sistemas de excitones confinados en puntos cuánticos y empleada para el cálculo de la energía de estos sistemas. Se investigaron sistemas desde el biexcitón (2 electrones - 2 huecos) hasta conglomerados de 12 pares, considerando además sistemas cargados,  $4e - 2h$  y  $6e - 2h$ . La diferencia  $E_{N+1} - E_N$  entre las energías de  $N+1$  y  $N$  excitones permite evaluar cómo depende la frecuencia del laser que crea un nuevo par con el número de pares presentes en el punto cuántico. De nuestros resultados se dedujo además la aparente inestabilidad del sistema  $4e - 4h$  en un pozo cuántico.

La ecuación de Bethe-Goldstone describe el movimiento de un par de fermiones que ocupan los estados  $\alpha$  y  $\gamma$  por debajo del nivel de Fermi y se dispersan hacia estados por encima del nivel de Fermi. Dicha ecuación se escribe:

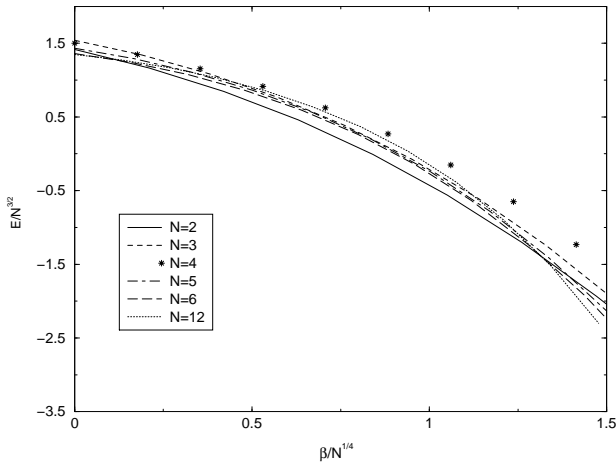


Figura 4: Energías de sistemas de  $N$  excitones calculadas a partir de la ecuación de Bethe-Goldstone.

$$(T_1 + T_2 + Q_{\alpha\gamma}V)\psi_{\alpha\gamma} = E_{\alpha\gamma}\psi_{\alpha\gamma}, \quad (12)$$

donde  $T$  son los operadores de energía de partículas libres en un campo externo y  $V$  es la interacción entre pares de partículas.  $Q_{\alpha\gamma}$  realiza la proyección sobre los estados disponibles

$$Q_{\alpha\gamma} = |\alpha\gamma\rangle\langle\alpha\gamma| + \sum_{\mu',\lambda' > \mu_F} |\mu',\lambda'\rangle\langle\mu',\lambda'|. \quad (13)$$

Escribiendo:

$$\psi_{\alpha\gamma} = |\alpha\gamma\rangle + \sum_{\mu',\lambda' > \mu_F} C_{\mu'\lambda'}^{\alpha\gamma} |\mu',\lambda'\rangle, \quad (14)$$

obtenemos para  $C_{\mu\lambda}^{\alpha\gamma}$  y  $E_{\alpha\gamma}$ :

$$(\epsilon_{\mu}^{(0)} + \epsilon_{\lambda}^{(0)} - E_{\alpha\gamma})C_{\mu\lambda}^{\alpha\gamma} + \sum_{\mu',\lambda' > \mu_F} \langle\mu,\lambda|V|\mu',\lambda'\rangle C_{\mu'\lambda'}^{\alpha\gamma} = -\langle\mu,\lambda|V|\alpha,\gamma\rangle, \quad (15)$$

$$E_{\alpha\gamma} = \epsilon_{\alpha}^{(0)} + \epsilon_{\gamma}^{(0)} + \langle\alpha,\gamma|V|\alpha,\gamma\rangle + \sum_{\mu',\lambda' > \mu_F} \langle\alpha,\gamma|V|\mu',\lambda'\rangle C_{\mu'\lambda'}^{\alpha\gamma}. \quad (16)$$

Las ecuaciones (15) constituyen un sistema lineal de donde se obtiene  $C_{\mu\lambda}^{\alpha\gamma}$  como función de  $E_{\alpha\gamma}$ , después sustituyendo en (16) obtenemos una ecuación trascendente para  $E_{\alpha\gamma}$ . La energía total se halla de:

$$E = \sum_{\alpha} \epsilon_{\alpha}^{(0)} + \sum_{\alpha < \gamma} (E_{\alpha\gamma} - \epsilon_{\alpha}^{(0)} - \epsilon_{\gamma}^{(0)}). \quad (17)$$

En la Fig. 4 mostramos la energía de  $N$  excitones ( $2 \leq N \leq 12$ ) calculadas por este método.

## V. ABSORCION Y LUMINISCENCIA INTER-BANDA EN PUNTOS CUANTICOS DE ELECTRONES

En el trabajo [5] se calculó el coeficiente de absorción, la luminiscencia y el perfil de densidades de electrones y huecos en puntos cuánticos pequeños (de 0 a 3 electrones) en presencia de campos magnéticos muy intensos, entre 8 y 50 Teslas. Experimentos de luminiscencia en pozos cuánticos (donde existen infinitos electrones confinados en una región cuasi-bidimensional) bajo campos magnéticos tan altos han sido reportados recientemente [16].

Los estado finales de un proceso de absorción e iniciales en uno de luminiscencia contienen un par electrón - hueco adicional. El sistema mas grande considerado fue, por tanto, el 4e - 1h. Las funciones de onda de los estados iniciales y finales fueron obtenidas por diagonalización exacta de la ecuación de Schrodinger en bases de aproximadamente 5,000 funciones.

Se obtuvieron resultados interesantes como la reestructuración de los estados de mas baja energía al variar el campo magnético, dando como resultado el corrimiento de los picos de absorción y de luminiscencia, así como variaciones abruptas del coeficiente de absorción o de la luminiscencia para valores de campos correspondientes a los llenados 1/3, 1/5, etc del efecto Hall cuántico.

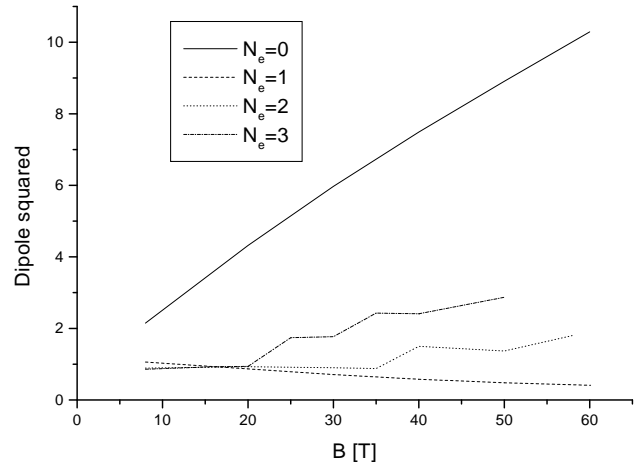


Figura 5: Intensidad del pico principal de luminiscencia correspondiente a excitones múltiplemente cargados.

En la Fig. 5 mostramos los máximos de luminiscencia correspondientes a multiexcitones con un exceso de carga  $N_e$ , es decir la recombinación desde sistemas con  $N_e + 1$  electrones y un hueco.

## VI. RESONANCIAS DIPOLARES GIGANTES EN PUNTOS CUANTICOS

Las resonancias dipolares gigantes (GDR) son excitaciones colectivas de núcleos [17] que juegan un importante papel en la foto-absorción y en otras reacciones nucleares. En el trabajo [6] se muestra que estados muy similares existen en sistemas de electrones y huecos en puntos cuánticos semiconductores.

Las energías de excitación y los elementos de matriz del operador de dipolo son calculados a partir de la denominada aproximación de fase aleatoria (RPA) en sistemas de hasta 110 pares e - h, concluyéndose que en las GDR se concentra aproximadamente el 98 % de la absorción de luz infra-roja en estos sistemas.

La RPA requiere como paso previo que el estado base sea obtenido en la aproximación de Hartree - Fock (HF), por lo que se implementó la solución iterativa de las ecuaciones de HF

$$\sum_t \left\{ E_{es}^{(0)} \delta_{st} + \beta \sum_{\gamma \leq \mu_F^e} \sum_{u,v} [\langle s, u | 1/r | t, v \rangle - \langle s, u | 1/r | v, t \rangle] C_{\gamma,u}^e C_{\gamma,v}^e - \beta \sum_{\gamma \leq \mu_F^h} \sum_{u,v} \langle s, u | 1/r | t, v \rangle C_{\gamma,u}^h C_{\gamma,v}^h \right\} C_{\alpha,t}^e = E_{e\alpha} C_{\alpha,s}^e \quad (18)$$

donde los orbitales electrónicos ocupados se expresan en términos de las funciones de oscilador a través de los coeficientes  $C_{\alpha,s}$ . Ecuaciones análogas a (18) se pueden escribir para la descomposición de los orbitales correspondientes a los huecos. Note que los  $E^{(0)}$  son las energías del oscilador en 2D

$$E_{es}^{(0)} = \hbar \sqrt{\omega_0^2 + \omega_c^2/4} \{2k_s + |l_s| + 1\} + \frac{\hbar \omega_c}{2} l_s + g_e \mu_B B S_z^e, \quad (19)$$

$$E_{hs}^{(0)} = \frac{m_e}{m_h} \hbar \sqrt{\omega_0^2 + \omega_c^2/4} \{2k_s + |l_s| + 1\} - \frac{m_e}{m_h} \frac{\hbar \omega_c}{2} l_s - g_h \mu_B B S_z^h, \quad (20)$$

Por otro lado, en la RPA el estado base  $|RPA\rangle$  se supone que contiene correlaciones entre las partículas y los estados excitados se buscan en la forma

$$\Psi = Q^\dagger |RPA\rangle, \quad (21)$$

donde el operador  $Q^\dagger$  viene dado por la expresión

$$Q^\dagger = \sum_{\sigma,\lambda} (X_{\sigma\lambda}^e e_\sigma^\dagger e_\lambda + X_{\sigma\lambda}^h h_\sigma^\dagger h_\lambda - Y_{\lambda\sigma}^e e_\lambda^\dagger e_\sigma - Y_{\lambda\sigma}^h h_\lambda^\dagger h_\sigma). \quad (22)$$

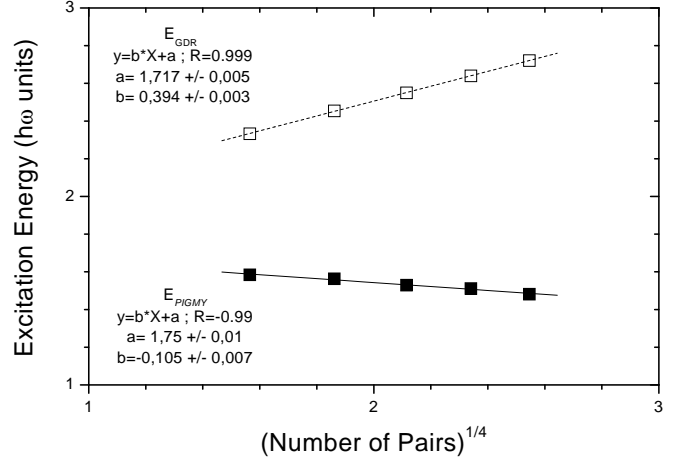


Figura 6: Posición de las resonancias gigantes y pigmeas como función del número de pares en el punto cuántico.

El índice  $\lambda$  corre sobre estados ocupados de HF, mientras que  $\sigma$  corre sobre estados desocupados (por encima del nivel de Fermi). Los coeficientes  $X$ ,  $Y$  se determinan por ecuaciones del tipo:

$$\sum_{\tau,\mu} \{ A_{\sigma\lambda,\tau\mu}^{ee} X_{\tau\mu}^e + A_{\sigma\lambda,\tau\mu}^{eh} X_{\tau\mu}^h + B_{\sigma\lambda,\mu\tau}^{ee} Y_{\mu\tau}^e + B_{\sigma\lambda,\mu\tau}^{eh} Y_{\mu\tau}^h \} = \hbar \Omega X_{\sigma\lambda}^e, \quad (23)$$

en las cuales  $\hbar \Omega$  son las energías de excitación y las matrices  $A$  y  $B$  vienen dadas por

$$\begin{aligned} A_{\sigma\lambda,\tau\mu}^{ee} &= (E_{e\sigma} - E_{e\lambda}) \delta_{\sigma\tau} \delta_{\lambda\mu} + \beta (\langle \sigma, \mu | 1/r | \lambda, \tau \rangle - \langle \sigma, \mu | 1/r | \tau, \lambda \rangle), \\ A_{\sigma\lambda,\tau\mu}^{eh} &= -\beta \langle \sigma, \mu | 1/r | \lambda, \tau \rangle, \\ B_{\sigma\lambda,\mu\tau}^{ee} &= \beta (\langle \sigma, \tau | 1/r | \lambda, \mu \rangle - \langle \sigma, \tau | 1/r | \mu, \lambda \rangle), \\ B_{\sigma\lambda,\mu\tau}^{eh} &= -\beta \langle \sigma, \tau | 1/r | \lambda, \mu \rangle. \end{aligned} \quad (24)$$

Usualmente, energías de excitación positivas (físicas) y negativas (no físicas) aparecen como soluciones de (23). Las soluciones físicas aniquilan el estado base

$$Q |RPA\rangle = 0, \quad (25)$$

y satisfacen la condición de normalización

$$1 = \sum_{\sigma,\lambda} \{ |X_{\sigma\lambda}^e|^2 + |X_{\sigma\lambda}^h|^2 - |Y_{\lambda\sigma}^e|^2 - |Y_{\lambda\sigma}^h|^2 \}. \quad (26)$$

Las ecuaciones (23) dan directamente las energías de excitación de los estados excitados. Los elementos de matriz del operador dipolar, que causa la transición del estado base a los estados excitados, se expresan en términos

de los coeficientes  $X$  e  $Y$ . La posición de la GDR, es decir del estado que absorbe casi toda la fortaleza de la transición, como función del número de pares electrón-hueco se muestra en la Fig. 6.

## VII. LAS DENOMINADAS RESONANCIAS PIGMEAS

En fecha reciente, se ha observado experimentalmente [18], que el 2 % de la foto-absorción en núcleos se concentra en estados de mas baja energía de excitación. Por contraposición a las GDR, a estos estados se les ha llamado “resonancias pigmeas”.

Los resultados del trabajo [7] muestran que la analogía con núcleos es casi perfecta pues los cálculos de la absorción en sistemas de electrones y huecos también dan como resultado una concentración del 2 % restante en estados de baja energía de excitación. (Ver Fig. 7).

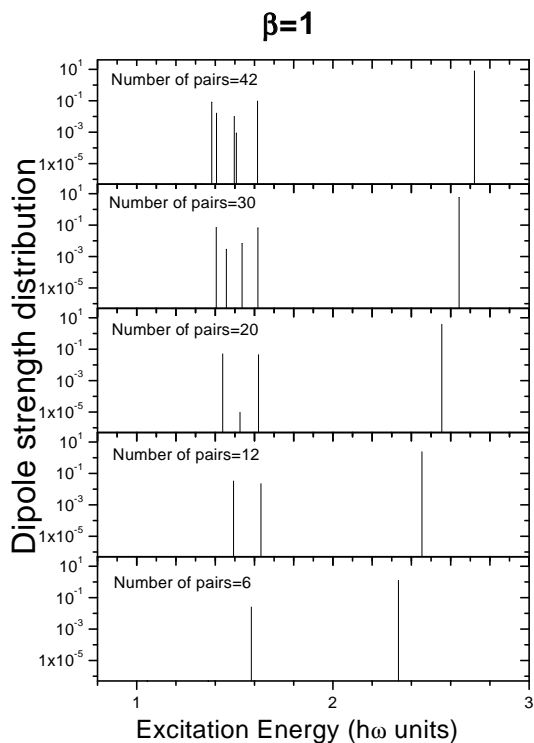


Figura 7: Intensidades de las resonancias gigantes y pigmeas en puntos cuánticos.

El número de resonancias pigmeas, al igual que en núcleos, aumenta con el número total de partículas. La posición de la GDR y del promedio de las resonancias pigmeas también depende del número  $N$  de pares  $e-h$  en el punto cuántico. Esta dependencia es cualitativamente similar a la de núcleos, es decir la GDR se desplaza hacia energías mas altas al aumentar  $N$ , mientras que las resonancias pigmeas se desplazan hacia mas bajas energías.

## VIII. TUNELAMIENTO RESONANTE A TRAVES DE UN PUNTO CUANTICO

Experimentos recientes han mostrado la factibilidad de controlar el número de electrones en un punto cuántico (desde uno hasta cuarenta), a la vez que reportan mediciones de la conductancia en los mismos [19].

En el trabajo [8] se tomaron parámetros que reprodujeran aproximadamente las condiciones de los experimentos en [19] y se calculó exactamente la conductancia y la densidad de niveles para un punto de 6 electrones. Hay que resaltar que el punto cuántico se halla separado de los electrodos por barreras de potencial, por lo que la conducción a través del mismo se realiza por medio de un proceso de tunelamiento resonante.

Las energías y funciones de onda de 6 y 7 electrones en el punto fueron obtenidas a partir de la diagonalización de la ecuación de Schrodinger en bases de hasta 40,000 funciones utilizando el método de Lanczos para tratar matrices tan grandes.

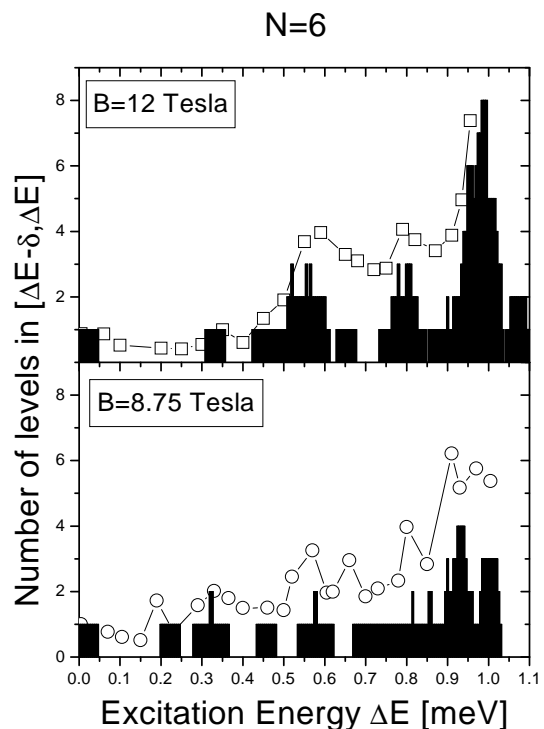


Figura 8: Densidad de niveles de energía para un punto cuántico con 6 electrones. Las barras representan los resultados de la diagonalización exacta del hamiltoniano, mientras que los símbolos son estimados a partir del coeficiente de transmisión.

Nuestros cálculos revelan que a partir de una medición precisa de la conductancia se puede obtener la densidad de estados excitados en sistemas de pocos electrones. Esta afirmación se ilustra en la Fig. 8, donde la densidad de estados obtenida por diagonalización exacta es comparada con la que se obtiene a partir de la conductancia

(coeficiente de transmisión) calculada para un punto con 6 electrones.

El método de Lanczos hace uso del algoritmo de Graham-Schmidt para orthogonalizar una base de vectores que es creada por la propia matriz hamiltoniana (que se supone simétrica). Debido a que la base es creada por la propia matriz, las propiedades de convergencia ante truncamiento son muy buenas. Quiere decir que para obtener los primeros 30 autovalores con buena aproximación basta representar la matriz en el subespacio de los primeros 500 vectores de Lanczos, aun cuando la dimensión de la matriz sea 40,000.

Sea  $\vec{e}_1$  un vector arbitrario. La 1ra iteración de Lanczos consiste en lo siguiente:

Calculamos  $a_1 = \vec{e}_1 \cdot H\vec{e}_1$ ,  $\vec{v}_2 = H\vec{e}_1 - a_1\vec{e}_1$ ,  $b_2 = |\vec{v}_2|$  y definimos  $\vec{e}_2 = \vec{v}_2/b_2$ . Tenemos entonces:

$$H\vec{e}_1 = a_1\vec{e}_1 + b_2\vec{e}_2. \quad (27)$$

En la 2da iteración calculamos:  $a_2 = \vec{e}_2 \cdot H\vec{e}_2$ ,  $\vec{v}_3 = H\vec{e}_2 - a_2\vec{e}_2 - b_2\vec{e}_1$ ,  $b_3 = |\vec{v}_3|$  y definimos  $\vec{e}_3 = \vec{v}_3/b_3$ . Tenemos:

$$H\vec{e}_2 = b_2\vec{e}_1 + a_2\vec{e}_2 + b_3\vec{e}_3. \quad (28)$$

Las siguientes iteraciones se hacen de manera análoga. Notice que en la base  $\{\vec{e}_i\}$  el operador  $H$  se representa por una matriz tridiagonal.

### IX. POLARIZACION DEL ESPIN Y LUMINISCENCIA EN SISTEMAS DE EXCITONES

En el trabajo [9] se analizaron los efectos combinados de la energía de confinamiento del punto cuántico, la energía Zeeman, la interacción de Coulomb y de campos magnéticos intensos sobre la polarización de los espines electrónicos y la luminiscencia coherente en sistemas de hasta 40 pares e - h.

El esquema teórico ya había sido utilizado en [3], es decir una función de onda BCS con proyección aproximada a lo Lipkin - Nogami. La bondad de este método en el caso de campos magnéticos grandes consiste en que la función BCS reproduce el estado básico exacto – un condensado de excitones [20]– en el límite de campos infinitos.

Mediciones de la luminiscencia en pozos cuánticos como función de la intensidad y polarización de la luz que crea los excitones habían sido reportadas en [21].

Nuestros cálculos arrojan sólo un 10 % de polarización neta de los espines electrónicos, aun a campos tan altos como 20 Teslas, debido a la fuerte interacción entre electrones y huecos. Además, se predice un corrimiento hacia el azul del pico de luminiscencia coherente con el aumento del número de pares e - h presentes en el punto (o lo que es equivalente, aumento de la intensidad del laser).

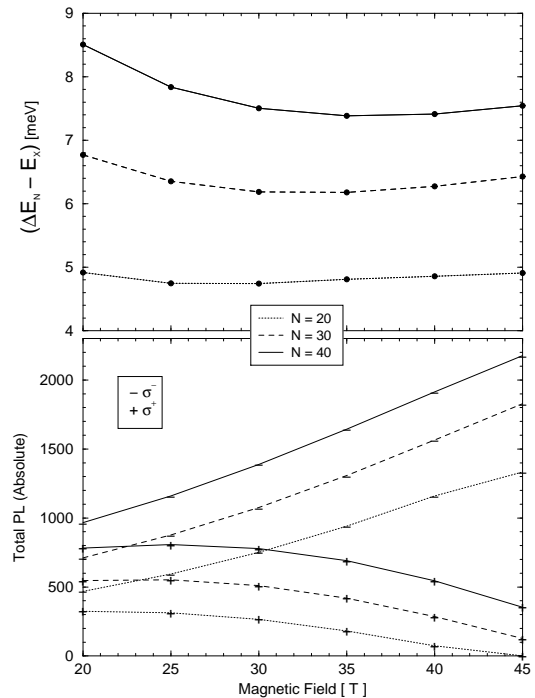


Figura 9: Posición e intensidad de la línea de luminiscencia como función del campo magnético y el número de excitones en el punto.  $E_X$  es la energía del excitón.

### X. TRANSICIONES OPTICAS INTRA-BANDAS EN EL BIEXCITON

Las transiciones entre estados electrónicos internos, causadas por absorción de fotones en el infra-rojo (5 - 10 meV), han sido estudiadas recientemente por medio de una técnica, conocida como ODR, consistente en observar sus efectos en las líneas de luminiscencia [22]. Los experimentos han sido realizados en pozos cuánticos y la línea de luminiscencia tomada como referencia es la línea fundamental del excitón.

En el trabajo [10], se calculan los niveles de energía, funciones de onda y elementos matriciales del operador dipolar para el biexcitón. Campos magnéticos entre 0 y 5 Teslas son considerados. Los parámetros utilizados (masas de las partículas, etc) corresponden a los de los experimentos [22]. La mezcla de sub-bandas de valencia se consideró aproximadamente. El método de cálculo fue la diagonalización directa de la ecuación de Schrodinger en bases de hasta 10,000 funciones.

Se hicieron predicciones para las posiciones e intensidades de las transiciones internas en el biexcitón, las cuales deben ser observadas siguiendo la línea biexcitónica en la ODR. Se obtuvieron resultados interesantes sobre anti-cruzamiento de niveles y transferencia de fuerza de oscilador entre estados que colisionan. Un ejemplo de estos resultados se muestra en la Fig. 10.

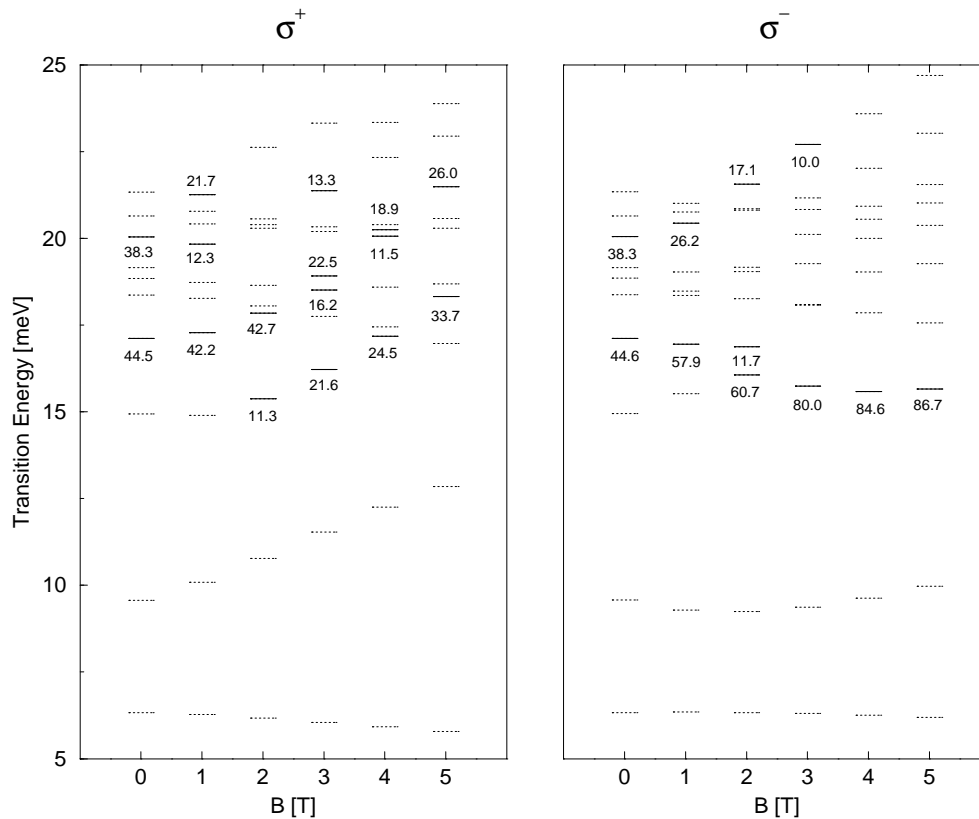


Figura 10: Energías de los estados de llegada y probabilidades relativas de absorción (sólo las superiores al 10 % se representan) como función del campo magnético.

## XI. CONCLUSIONES

Se han presentado resultados sobre propiedades físicas de sistemas confinados del estado sólido en que intervienen decenas o cientos de partículas. Se ha puesto de manifiesto la gran analogía de estos sistemas con los núcleos atómicos, lo cual fundamenta la aplicación de métodos de la Física Nuclear en la investigación de los mismos.

## XII. AGRADECIMIENTOS

Los resultados reportados corresponden a trabajos conjuntos con R. Capote, R. Pérez, B. Rodríguez, A. Delgado, E. Menéndez, B. Partoens, A. Matulis, F.M. Peeters, L. Quiroga y F.J. Rodríguez.

\* Electronic address: agonzale@cidet.icmf.inf.cu

<sup>1</sup> A. Gonzalez, B. Partoens, A. Matulis and F. M. Peeters. Phys. Rev. B 59 (1999) 1653-1656.

<sup>2</sup> B.A. Rodriguez, A. Gonzalez, L. Quiroga, F.J. Rodriguez. and R. Capote. Int. J. Mod. Phys. B. 14 (2000) 71-83.

<sup>3</sup> R. Capote and A. Gonzalez. Phys. Rev. C 59 (1999) 3477-3480.

<sup>4</sup> R. Perez and A. Gonzalez. Physica E 8 (2000) 91 - 98.

<sup>5</sup> A. Gonzalez and E. Menendez. Physica E 8 (2000) 333-341.

<sup>6</sup> A. Delgado, L. Lavin, R. Capote and A. Gonzalez. Physica E 8 (2000) 342-348.

<sup>7</sup> R. Capote, A. Delgado and A. Gonzalez. Mod. Phys. Lett. B 15 (2001) 81 - 87.

<sup>8</sup> A. Gonzalez and R. Capote. Physica E 10 (2001) 528 - 534.

<sup>9</sup> B. Rodriguez and A. Gonzalez. Phys. Rev. B 63 (2001)

205324, 6 pages.

<sup>10</sup> R. Perez and A. Gonzalez. J. Phys.: Condens. Matter 13 (2001) L539 - L544.

<sup>11</sup> A.H. MacDonald and D.S. Richtie. Phys. Rev. B 33, 8336 (1986).

<sup>12</sup> D.M. Ceperley, Lectures on Quantum Monte Carlo, ICTP, Trieste (1997).

<sup>13</sup> M.H. Anderson et. al., Science 269, 198 (1995).

<sup>14</sup> P. Ring and P. Schuck, The nuclear many-body problem, Springer-Verlag, New-York (1980).

<sup>15</sup> H.C. Pradham et. al. Nucl. Phys. A 201, 357 (1973); J. Dobaczewski et. al. Phys. Rev. C 47, 2418 (1993).

<sup>16</sup> Y. Kim et. al. Phys. Rev. B 61, 4492 (2000).

<sup>17</sup> J. Speth (Ed.). Electric and magnetic giant resonances in nuclei, World Scientific, Singapore (1991).

- <sup>18</sup> R.D. Herzberg et. al. Phys. Rev. C 60, 051307(R) (1999); K. Govaert et. al. Phys. Rev. C 57, 2229 (1998); R.D. Herzberg et. al. Phys. Lett. B 390, 49 (1997); J. Reif et. al. Nucl. Phys. A 620, 1 (1997); F. Bauwens et. al. Phys. Rev. C 62, 024302 (2000).
- <sup>19</sup> S. Tarucha, D.G. Austing, and T. Honda. Phys. Rev. Lett. 77, 3613 (1996); T.H. Oosterkamp, J.W. Janssen, L.P. Kouwenhoven et. al. Phys. Rev. Lett. 82, 2931 (1999); L.P. Kouwenhoven, T.H. Oosterkamp, M.W.S. Danoe-sastro et. al. Science 278, 1788 (1997); S. Sasaki, S.De Franceschi, J.M. Elzerman et. al. Nature 405, 764 (2000); S.De Franceschi, S. Sasaki, J.M. Elzerman et. al. Phys. Rev. Lett. 86, 878 (2001).
- <sup>20</sup> I.V. Lerner and Yu.E. Lozovik. Zh. Eksp. Teor. Fiz. 80, 1488 (1981) [Sov. Phys.-**JEPT** 53, 763 (1981)].
- <sup>21</sup> T.C. Damen, L. Viña, J.E. Cunningham, J. Shah, and L.J. Sham. Phys. Rev. Lett. 67, 3432 (1991).
- <sup>22</sup> H.A. Nickel, G. Kioseoglou, T. Yeo et. al. Phys. Rev. B 62, 2773 (2000).